

II-198 水質基準監視地点からみた河川水質の変動について

北海道公害防止研究所 正会員 ○伊藤英司 安藤和夫 中村俊男

1 はじめに

河川水質は、河川流量、汚水放流等の不均一性によって大きく変動するが、この変動の内容を適確に把握し汚染源を規制する事は、水質基準設定後の監視体制にとってきわめて重要である。このため水質基準設定後の監視体制における基礎的資料の一つとして汚染源からの排出汚水が変動した場合、流下に伴なう河川の影響を河川応答モデルによって追跡し汚染源の変動を平坦化する拡散現象を明確に評価しようと試みた。

2 河川応答モデルについて

流量変化、水質変化に応じて変動する河川水質を監視し規制するうえで現象を巨視的に把握しうる応答モデルを用いて河川中の拡散現象に対する考察をおこなった。河川のある地点において、流量変化に応じた断面積変化を明瞭化にし、流量 Q_i における断面積を A_i とし、 Q_i における流速 V_i を①式で求める。
 $V_i = Q_i / A_i \quad ①$ ある水塊が微少時間 Δt に流下する距離は $\Delta L_i = \Delta t \times V_i \quad ②$ である。ここで、ある考える区間の距離を L とする時、
 $L = \sum_{i=1}^{i=m} \Delta L_i \quad ③$ である。③より “ m ” を求め、④式より $Q = Q_i$ における $x=0$ から $x=L$ 地点までの流下時間 T_i を求める。
 $T_i = m \times \Delta t \quad ④$ いま、
 $x=0$ 地点における流量変化、水質変化を Δt 時間にじて分割した時、分割された水塊が $x=0$ から $x=L$ 地点まで流下する時の拡散現象を各水塊の“影響時間”としてあらわした。影響時間とは、 Δt 時間にじて分割された水塊が前後の水塊と混合しながら流下するものとし、その混合の影響を受けける水塊の範囲を時間であらわしたものである。すなわち、影響時間 I_i は、
 $I_i = n \times \Delta t \quad ⑤$ で示される。 n は影響係数であり、 $n=1$ の時、水塊は Δt 時間にて混合され $x=L$ 地点で流出するが、 $n=\infty$ の時は、完全混合され流出する。

$x=L$ 地点において、ある影響時間のときに水塊が到達する時、その水塊の $x=0$ 地点での時間における流量、水質は⑥、⑦式で示される。

$$t_i = t_{is} + \frac{n-1}{2} \times \Delta t \quad (s=1, 2, 3, \dots) \text{において}$$

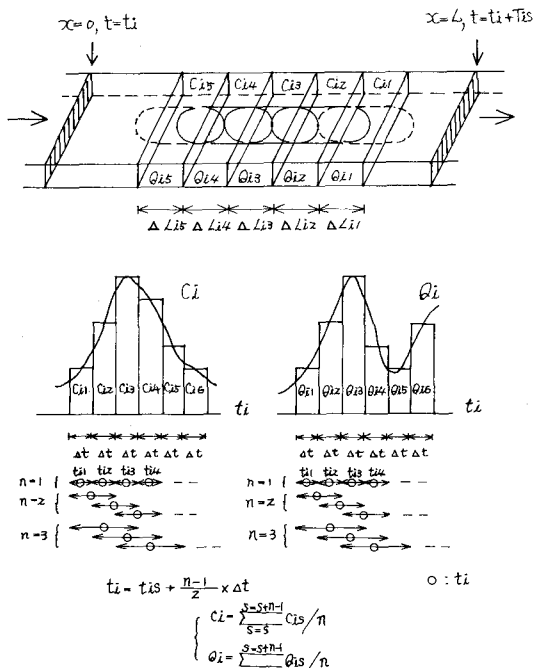
$$Q_i = \sum_{s=s}^{s=s+n-1} Q_{is} / n \quad (s=1, 2, 3, \dots) \quad ⑥$$

$$C_i = \sum_{s=s}^{s=s+n-1} C_{is} / n \quad (s=1, 2, 3, \dots) \quad ⑦$$

⑥式を①、②、③、④式に代入する事により

$s=1, 2, 3, \dots$ における水塊の $n=1, 2, 3, \dots$ とした時の $x=L$ 地点までの流下時間が求められる。

図1. 河川応答モデル



また⑦式を Streeter, Phelp の式に代入する事により、BOD, DO 不足量、を巨視的に把握した⑧, ⑨式を得る。

$$C_L = \sum_{S=1}^{S=S+n-1} C_{LS} \times 10^{-k_1 TIS} / n \quad ⑧$$

$$D_L = \frac{R_0}{R_2 - R_0} \times \frac{\sum_{S=1}^{S=S+n-1} C_{LS}}{d} \times (10^{-k_2 TIS} - 10^{-k_1 TIS}) + D_0 10^{-k_1 TIS} \quad ⑨$$

ここで $C_L = L$ で BOD (PPM), $D_L = L$ で 溶存酸素不足量 (PPM)

R_0 : BOD 減衰係数 ($1/D$), R_2 : 再曝気係数 ($1/D$)

TIS : 流下時間 (D), $\sum_{S=1}^{S=S+n-1} C_{LS}/d$: 最終 BOD 濃度 (PPM)

以上の河川応答モデルの考察の結果を図.1 に示す。

3 排水負荷量の変動実験について

水質基準監視地点の監視という目的から、河川応答モデルの考察をおこなったが、この考察ではいくつかの仮定を含んでいたためそれぞれの妥当性が問われる。ここでは、個々の仮定をくりあげて河川応答モデルを実際の適合度をかけて総括的に検証するため、汚染源が確定している丁河川を選定し汚染源に人為的な変動を与えた跡を示す。(汚染源はパルプ工場排水である。) 監視地点は、様方句拡散終了地点 L_1 (8.2 km) と溶存酸素最小地点 L_2 (22.2 km) を実験的に選定した。また $X=0$ 地点における初期算定 BOD 値は ⑧ 式より求めた。

$$C_0 = Q_0 + Q_B / Q + 8 \quad ⑩$$

ここで, Q_0 : 河川水中原汚染物質量 (g/s) Q_B : 排水負荷量 (g/s)

丁河川の L_1 , L_2 地点における流量変化に伴なう断面積、流速変化を図.2 に示し、人為的な排水負荷量の変動を図.3 に示す。

丁河川における $X=L_1, L_2$ 地点の BOD, DO の実測値を河川応答モデルによって追跡した結果を図.4, 図.5 に示す。

この結果、計算値が実測値を忠実に追跡するにはいたらないが、排水負荷の変動に対して河川の拡散現象をあらかじめ考慮する影響時間として総括的に把握するには十分効果的である事が確認された。また、丁河川の一例にすぎないが、排水負荷の変動に対して、DO は BOD よりも影響時間が長い事が認められた。

4 影響時間の効果について

排水負荷量の変動に対する河川の拡散現象を、ある考案する水塊の影響時間であらわした時、水質基準監視地点における影響時間の効果から拡散現象の評価を試みた。

ある任意の変動を排水に与えた時、監視地点における一定の時間帯の平均水質から、影響時間の BOD 減少、DO 増加におよぼす効果を明らかにする事が可能である。

図 2 河川流量変化に伴なう断面積、流速変化

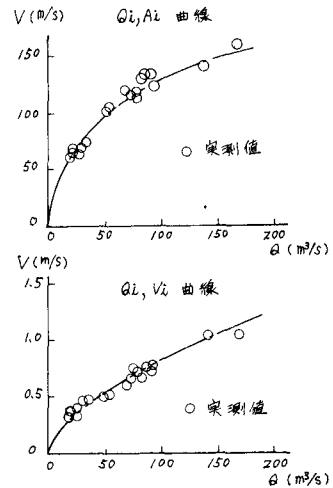
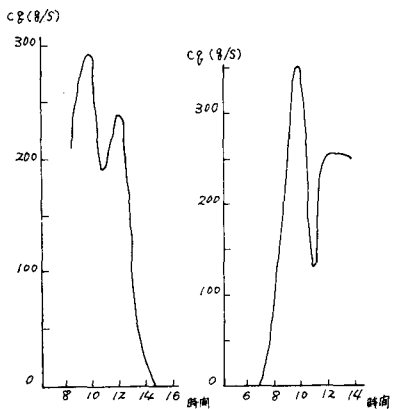


図 3. 排水負荷量の変動について



いま、各影響時間 (I_t) における平均 BOD, DO をそれぞれ $C_{It=0}$, $D_{It=0}$ ($\theta = 0.5^H, 1.0^H, 2.0^H, 3.0^H, 4.0^H$) とするとき、各 I_t における BOD 減少率 (R_{BOD}), DO 増加率 (R_{DO}) を $I_t=0.5^H$ の値に基づく百分率であらわす式を ⑦, ⑧ に示す。

$$R_{BOD} = (C_{It=0.5^H} - C_{It=0}) \times 100 / C_{It=0.5^H} \quad ⑦$$

$$R_{DO} = (D_{It=0.5^H} - D_{It=0}) \times 100 / D_{It=0.5^H} \quad ⑧$$

ここで $\theta = 0.5^H, 1.0^H, 2.0^H, 3.0^H, 4.0^H$

住戸の変動として $x=0$ における BOD 算定曲線、および問題とする一定時間帯 (T) を図.6 に示す。図.6 より T 河川の実験値を用い、⑦, ⑧, ⑪, ⑫ 式より、各流下時間 (T_t) における BOD 減少率, DO 増加率を計算した。

$$(k_0 = 0.70^{1/H}, k_2 = 0.45^{1/H}, \alpha = 0.25, D_0 = 1.4^{ppm})$$

I_t の単位時間当たりの BOD 減少率, DO 増加率の結果を図.7 に示す。

図.7 より、 I_t の増大に伴ない各 I_t 点における BOD 減少率, DO 増加率は共に高くなる。単位時間当たりの BOD 減少率, DO 増加率より、影響時間の効果が最大に發揮しうる点は、 $I_t=2.0^H$ である事、また、 I_t の単位時間当たりの DO についての効果は、流下時間の拡大に伴ない高くなるが、BOD については便らない事が明きらかとなった。

次に、限界効用評価の応用¹⁾により水質基準監視地点の河川水質は、影響時間と流下時間からなりたつものとし、影響時間と流下時間との相対的な効果を明きらかにした。

ある住戸の変動を排水に与え、水質

図.4. 河川 BOD 算定曲線

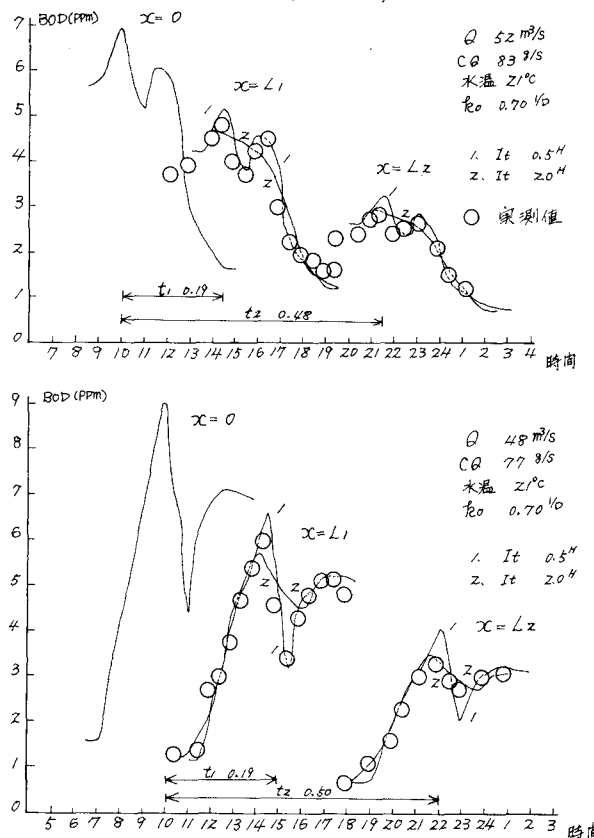
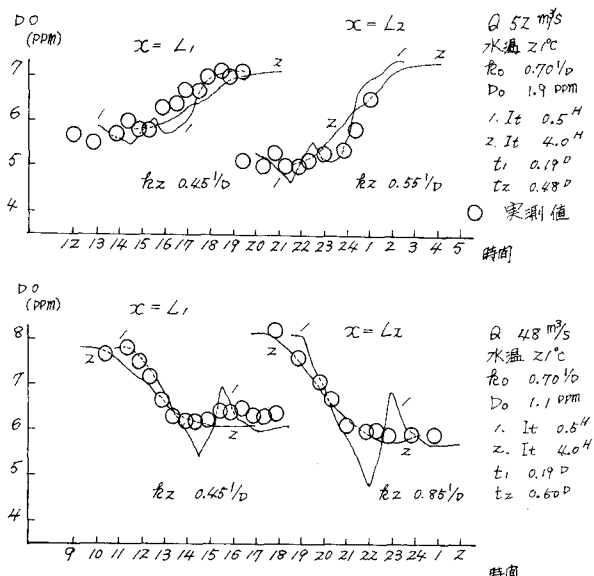


図.5. 河川溶存酸素算定曲線



監視地点における一定の時間帶の平均水質を C_0 とした時 C_0 の状態方程式は、(3)式で示される。

$$C_0 = f(I_t, T_t) \quad (3)$$

ここで I_t : 影響時間, T_t : 流下時間

$$(3) \text{より}, \frac{dC_0}{dt} = (\partial f / \partial I_t) \cdot dI_t + (\partial f / \partial T_t) \cdot dT_t \quad (4)$$

(4)より C_0 を一定に保つ ($dC_0 = 0$) によるする

I_t と T_t との関係式は

$$\frac{dI_t}{dT_t} = -(\partial f / \partial T_t) / (\partial f / \partial I_t) \quad (5)$$

(5)式は、 C_0 が変化する時の C_0 に占める影響時間、流下時間の両方の効果を相対的にあらわしている。

ここで、任意の水質変動として、図6の $x=0$ における BOD 算定曲線をもち、 C_0 に占める影響時間と流下時間との相対効果についての結果を図8に示す。

図8より、影響時間が工時間までは、 I_t と T_t との効果の比率は減りしていくが、工時間以後の I_t の増加に対しては、 C_0 に占める I_t と T_t との効果の比率が変わなくなる。また、水温の低下に伴ない、 C_0 に占める I_t の効果の比率が T_t の効果に比較して減りする事が明瞭なようになった。

5 おわりに

水質基準地点における河川水質変化を監視するうえで有効と思われる河川応答モデルの考察、およびモデルの妥当性を確認した。すなわち、排水負荷量の変動を平坦化する河川の拡散現象の表現方法の一つとして“水塊の影響時間（水塊の混合される範囲）”であらわし得る事が明瞭なようになった。

また、河川水質に占める影響時間の効果、さらに、流下時間との相対的効果等について二、三明らかにした。今後の課題として、河川応答モデルの定量的精度を高めたい。

最後に、筑大、末石教授、住友助教授の講義等を通しておしえられた事、また、北大、母保教授より指導を受けた事に対して深く感謝する次第であります。

参考文献

- 1). 住友恒、末石富太郎：工業用水、124, 59, (1969)

図6. $x=0$ での BOD 算定曲線

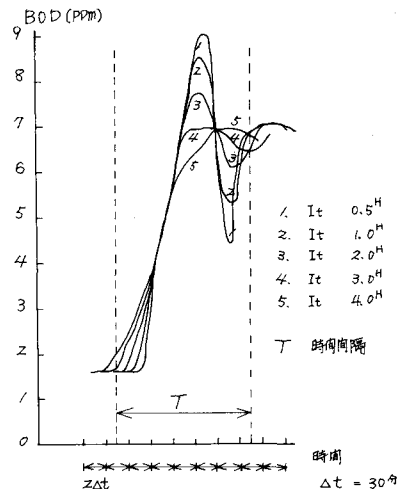


図7. 影響時間(I_t)の効果について

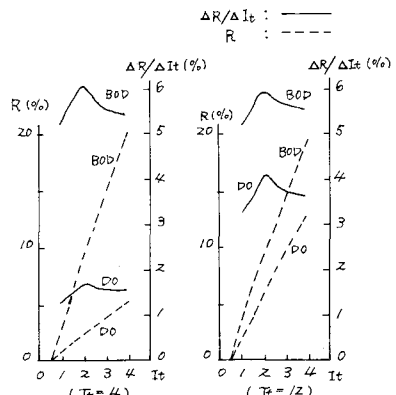


図8. 流下時間、影響時間の相対効果について

